

## 80キロ級高張力鋼の実働荷重による疲労亀裂の伝播について

|           |      |
|-----------|------|
| 東京大学      | 奥村敏恵 |
| 東京都立大学    | 堀川浩甫 |
| 阪神高速道路公团  | 宍戸松二 |
| 阪神高速道路公团  | 水元義久 |
| 新日本製鉄K.K. | 石黒隆義 |

### 1. まえがき

現在施工中である南港連絡橋は中央径間510m、橋長980mのダブルデッキのカンティレバートラス橋である。本橋はHT80が本格的に使用される我國最初の橋梁であり、その安全性が種々の面より検討されてきた。図-1は本橋の側面図であり、本図に示されるようにHT80は支点付近の上下弦材に使用されている。

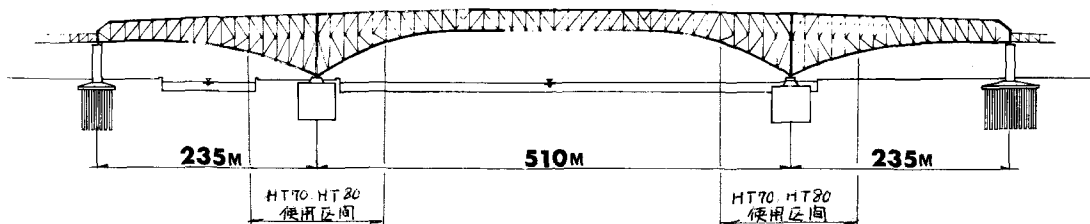


図-1 一般図

一般にHT80等の降伏点の高い材料を使用して設計応力が高くなると破壊の亀裂寸法に対する感度は大きくなる。そこで本橋における材料に対しても耐脆性破壊設計の検討を行ってきた。

脆性破壊は通常、溶接欠陥や応力集中のある不連続構造から直接発生したり、低サイクル疲労による亀裂の全長や腐食亀裂などの全長が、ある限界亀裂長まで達すると脆性亀裂へ転化するところによく生ずると考えられる。そこで、ここでは後者の低サイクル疲労による亀裂の全長の観点よりHT80について検討を行つたのでその概要を述べるものである。

### 2. 脆性破壊発生防止との関連

本橋にHT80を使用するにあたっては、脆性破壊発生防止のため、まず、鋼材規格の設定においては低温韌性を特に重視し、衝撃試験における遷移温度を-35°C以下にみえる規定等を設けている。一方、これらの規格を満たす鋼板を用いて、Deep Notch試験あるいは広巾試験を行い、線形破壊力学を前提とし、切欠き深さと破壊応力の関係を角変形、目達い、残留応力および使用温度との関連をついた。

広巾試験においてはKc値の式<sup>(1)</sup>により試験結果を整理し破壊時のKcと温度の関連をつり、実構造物に予想される使用条件のもとで、どこまで角変形、目達いあるいは欠陥が脆性破壊発生の観点より許

それらを関連づけた。図-2

は広巾試験により得られた各使用応力レベルに対し、脆性破壊を発生するか否かの境界線を推定したものである。例えば球形タンクの開校検査で発見された大きめの深さおよび長さである  $55\text{mm}$  深さ  $\times 85\text{mm}$  長さの切欠<sup>(2)</sup>が検査にない? 見逃されても本橋に先在したとしても、母材降伏点の  $70\text{kg/mm}^2$  の応力が作用しても安全であると推定できる。

しかしながら、ここで重要な問題は、これらの脆性破壊発生の要因となる各要素は使用条件下で変化しないことあるいは変化の度合がある限界値以下であることを必要とする。すなわち、本橋の供用途中において内在する溶接欠陥あるいは検査時に見逃された欠陥が伝播しないことが必要であり、もし伝播する場合においても本橋の供用年数内においては脆性破壊を発生せしめる大きさで成長しないことが重要である。

そこで、今回図-3に示されるような系統図により、本橋の安全性の評価を行った。

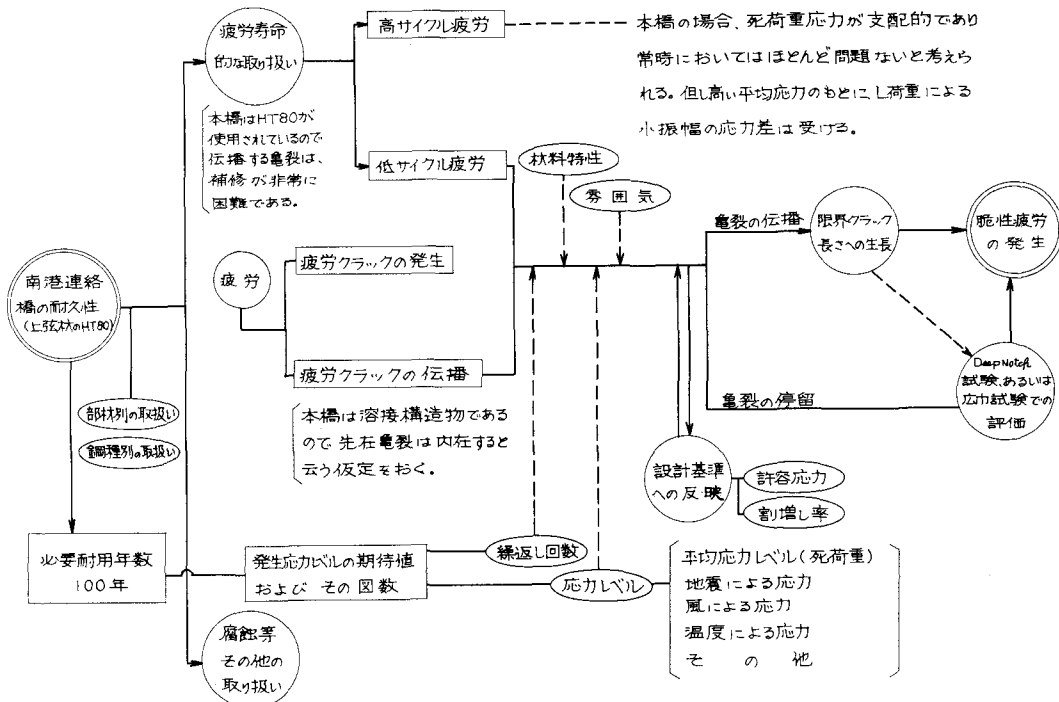


図-3 南港連絡橋の耐久性検討の系統図

通常の道路橋において疲労の問題をとりあげているのは、主として鋼床版に限られている。しかし本橋においては従来の橋梁と異なる点としてHT70, HT80の高張力鋼が大量に初めて使用される。そこで、今回の検討は脆性破壊へからんだ問題として絞り、HT80を使用して引張力の作用する上弦材に限定して行った。

### 3. 応力レベル

本橋の設計計算におけるHT70, HT80の基本許容応力度<sup>(3)</sup>は下記の通りである。

|      |                        |
|------|------------------------|
| HT70 | $3000 \text{ kg/cm}^2$ |
| HT80 | $3400 \text{ kg/cm}^2$ |

これらに対し、各荷重ケースの組合せに対し、許容応力度の割り増しを表-1により行っている。

表-1 許容応力度の割増し率

| 荷重の組合せ      |                 | 割増率 |
|-------------|-----------------|-----|
| 完<br>成<br>時 | D+T+L 主荷重       | 0%  |
|             | D+T+L+SS 2次応力考慮 | 10  |
|             | D+T+W 風荷重       | 35  |
|             | D+T+LW+WL       | 25  |
|             | D+T+LEQ+EQ 地震荷重 | 45  |
|             | W (構構) 地震荷重     | 35  |
| 架<br>設<br>時 | EQ ( ) 地震荷重     | 45  |
|             | ER+D+SS         | 55  |
|             | ER+W+D          | 50  |
|             | ER+EQ+D         | 65  |

D:死荷重

L:活荷重

T:温度変化

W:風荷重

LW:風荷重載荷時の活荷重 (=  $\frac{1}{2}$ )

WL:活荷重載荷時の風荷重 (=  $\frac{W}{2}$ )

EQ:地震荷重

LEQ:地震荷重時の活荷重 (=  $\frac{1}{2}$ )

ER:架設荷重

SS:トラス剛結による二次応力

これらの設計基準により本橋は設計され、HT80の用いられていて引張材の応力値を各荷重ケースに対するものが表-2である。本橋は表-2に示されるように死荷重による平均応力として、基本許容応力度の80%程度の応力が常時存在し、これに対し、活荷重、風荷重および地震荷重等が作用する。また、亀裂の生長速度の評価において重要な応力は平均応力の値より、応力振幅が支配的である。

実構造物に作用する応力は非常に複雑であるが、今回の検討においては次のような仮定を設けて、解析の単純化を行った。第1に、静的設計計算により与えられる表-2の応力が単純に最大、最小値として作用するものと考える。第2に実構造物では、これらの荷重による応力はランダムに載荷されるが、解析の簡易化の為、单一に各荷重条件での作用応力による亀裂の伝播を累加する。

なお、風荷重のうち風速が30%/sec未満の場合は活荷重応力振幅の  $\Delta\sigma = 3 \sim 4 \text{ kg/mm}^2$  と同程度となり、くり返し回数が大きい活荷重の中に入れてしまうと考え今回の検討対象外とし、風速30%以上もののものを対象とした。

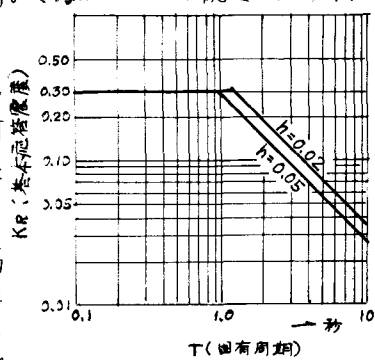


図-4 上部工に対する基本応答震度

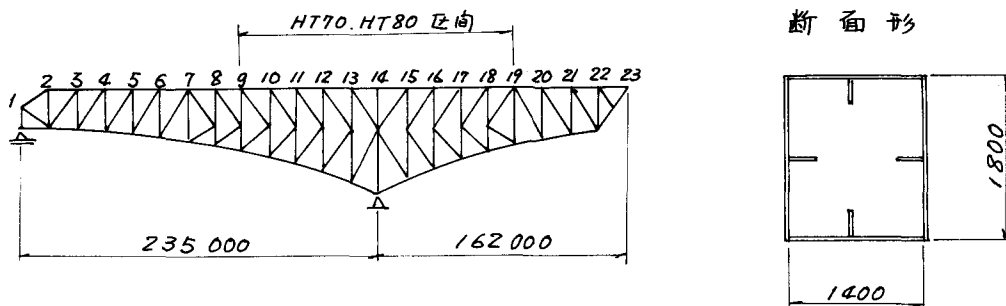
地震荷重について、その応答震度の算定においては土木研究所の応答スペクトル図(1964年版)を修正したものを使用して断面力の算出を行っている。今回検討を行っている部材はHT80を用いた走行軸の中間支点付近であり、比較的固有周期が長く、図-4に示される基本応答震度をカットしない部分であり、設計値をこえず応力の去る可能性は比較的薄いと考えられる。

一方、SM58以下の鋼材が用いられている部分で今回検討の対象外としている弾塑部においては、固有周期  $T_{10} = 0.7\text{sec}$  と高次の振動が問題となり、図-4での基本震度をカットしている部分になり設計応力よりも大きな応力レベルでさらされることも予想され動的弾塑性変形の問題があるが、今回の検討から省略する。

表-2 上弦材(HT70, HT80区間)の応力表

| 部材    | 柱頂             | 母材の板厚<br>(mm)     | 継手部の板厚<br>(mm)       | ①<br>死荷重<br>应力 | ②<br>活荷重<br>应力 | ③<br>風荷重<br>(每秒風速50)<br>(生車/速40)<br>(速車/速50) | ④<br>風荷重<br>(kg/m <sup>2</sup> ) | ⑤<br>風荷重<br>(kg/m <sup>2</sup> ) | ⑥<br>地震荷重<br>(kg/m <sup>2</sup> ) |
|-------|----------------|-------------------|----------------------|----------------|----------------|--|----------------------------------|----------------------------------|-----------------------------------|
| 9~10  | HT70<br>(HT80) | フランジ 30<br>ウェブ 44 | フランジ 42.36<br>ウェブ 50 | 2339           | + 759<br>- 279 | ± 938  | ± 600                            | ± 338                            | ± 1380                            |
| 10~11 | HT80           | " 40              | 48.40<br>52          | 2636           | + 736<br>- 221 | ± 1206                                       | ± 772                            | ± 434                            | ± 1290                            |
| 11~12 | " "            | 30<br>44          | 48.40<br>56          | 2729           | + 725<br>- 145 | ± 1371                                       | ± 877                            | ± 474                            | ± 1112                            |
| 12~13 | " "            | 30<br>48          | 48.40<br>60          | 2737           | + 638<br>- 76  | ± 1544                                       | ± 988                            | ± 556                            | ± 1244                            |
| 13~14 | " "            | 30<br>48          | 40.36<br>56          | 2847           | + 625<br>- 0   | ± 1815                                       | ± 1162                           | ± 653                            | ± 1638                            |
| 14~15 | " "            | 30<br>48          | 40.36<br>56          | 2851           | + 623<br>- 0   | ± 1815                                       | ± 1162                           | ± 653                            | ± 1638                            |
| 15~16 | " "            | 30<br>48          | 48.40<br>62          | 2838           | + 629<br>- 0   | ± 1533                                       | ± 981                            | ± 552                            | ± 1364                            |
| 16~17 | " "            | 30<br>46          | 48.40<br>50          | 2819           | + 640<br>- 2   | ± 1311                                       | ± 839                            | ± 472                            | ± 1149                            |
| 17~18 | " "            | 30<br>42          | 48.40<br>54          | 2934           | + 665<br>- 0   | ± 1132                                       | ± 924                            | ± 408                            | ± 915                             |
| 18~19 | HT70<br>(HT80) | " 30              | 42.36<br>52          | 2649           | + 600<br>- 2   | ± 856  | ± 548                            | ± 308                            | ± 823                             |

( )内は継手部の板厚。



#### 4. 繰り返し数

実構造物がその耐用年数の間にさらされる種々の載荷状況の繰り返し数の評価は設計の過程にも関連を有するが、不規則現象を対象としているので応力レベルの評価を増して不明な点が多い。実橋における応力頻度と載荷状況の調査に関しての貴重なデータ<sup>(4)</sup>があるが、数少なくまた中小橋梁の活荷重のみが対象とされていて、本橋のような大型構造物に直接用いることはできない。

そこで本検討においては問題とする実働荷重による亀裂の伝播がオーダー的に果してどの程度であるかの目安を握るという主旨のもとに、繰り返し数の評価においては安全側にたって大胆な割り切り

と仮定のもとに検討した。

各荷重ケースに対する繰り返し数の算定における大きな仮定は活荷重、風荷重および地震荷重に本橋がさらされている間、本橋は今回検討の対象としている部材に最も不利な断面力を生じさせる周期で振動すると考えてよいことである。次に大きな仮定を100年間にみける各荷重ケースでの持続時間の評価についている。例えば、地震荷重についていえば、100年間に250gal程度の地震が1/2回程度あると想定し、地震動の持続時間を60secとし、本橋の中間支点付近の部材に対し最も卓越する4次モードにおける固有周期  $T_4 = 1.7\text{ sec}$  で最大応力を発生せしめながら振動すると考えて單純に繰り返し数を以下のように算出した。

$$N = 2\text{ 回}/100\text{ 年} \times 60\text{ sec}/\text{回} \times \frac{1}{1.7\text{ sec}} \div 10^2 \text{ 回}$$

このような手法等により各荷重ケースに対する繰り返し数として下記の値を推定した。

|                                   |   |                 |
|-----------------------------------|---|-----------------|
| a. 活荷重時                           | $\textcircled{1} + \textcircled{2}$                             | $2 \times 10^6$ |
| b. 風荷重時 (基本風速 $50\text{ m/sec}$ ) | $\textcircled{1} + \textcircled{3}$                             | $1 \times 10^3$ |
| c. " " ( $40\text{ m/sec}$ )      | $\textcircled{1} + \textcircled{4}$                             | $5 \times 10^3$ |
| d. " " ( $30\text{ m/sec}$ )      | $\textcircled{1} + \textcircled{5}$                             | $1 \times 10^5$ |
| e. 地震荷重時                          | $\textcircled{1} + \frac{\textcircled{2}}{2} + \textcircled{6}$ | $1 \times 10^2$ |

## 5. 疲労亀裂伝播の計算例

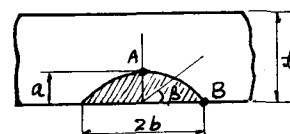
### 5-1. 着目部材

疲労亀裂伝播の計算は表-2より応力振幅の最も大きな条件下で使用される部材13~14(14~15)について以下に計算例を示す。

### 5-2. K値(応力拡大係数)の計算法

種々の研究が亀裂の伝播に関するものがあり、その生長速度の予測は最近は応力拡大係数Kによって整理している。今回の検討においては図-5に示すような偏平橋脚状の非貫通欠陥が存在するとし、それについてのK値は次のようく表わされる。

$$K = M_e \sqrt{\pi a} \left[ \sin \beta + (a/b)^2 \cos^2 \beta \right]^{1/4} / \left[ (\Phi^2 - 0.212 (\delta/\delta_Y)^2) \right]^{1/2}$$

$$\text{ただし } \Phi = \int_{0}^{\pi/2} [\cos^2 \theta + (a/b)^2 \sin^2 \theta]^{1/2} d\theta \quad \dots \dots \dots (2)$$


$M_e$ : 自由境界の補正係数

A点( $\beta = \pi/2$ )におけるK値は次の通りである。

$$K_A = M_e \sqrt{\pi a} / \left[ \Phi^2 - 0.212 (\delta/\delta_Y)^2 \right]^{1/2} \quad \dots \dots \dots (3)$$

B点( $\beta = 0$ )におけるK値は次の通りである。

$$K_B = M_e \sqrt{\pi a} \cdot \sqrt{a/b} / \left[ \Phi^2 - 0.212 (\delta/\delta_Y)^2 \right]^{1/2} \quad \dots \dots \dots (4)$$

$M_e$ はKobayashi A点及びParisの計算結果を用いて畠田<sup>5)</sup>から次のようない式を示している。

$$A\text{点: } M_e(A) = [1 + 0.12 (1 - \frac{a}{2b})^2] \left[ \frac{2\pi a}{\pi a} \tan \frac{\pi a}{2\pi} \right]^{\frac{1}{2}} \quad \dots \dots \dots (5)$$

$$B\text{点: } M_e(B) = \times 20 [1 + 0.12 (1 - \frac{a}{2b})^2] \quad \dots \dots \dots (6)$$

(3), (4), (5)および(6)から  $K_A, K_B$  を計算した。

ただし、材料の降伏点はこの種の鋼板の引張試験の実績より  $\delta_y = 78.3\text{ kg/mm}^2$  とし板厚を  $50\text{ mm}$  とした。

### 5 - 3. 疲労亀裂の伝播速度について

疲労亜裂の伝播速度と応力拡大係数( $K$ )との関係はParis らにより、次のように関係づけられている。

## $\Delta K$ :応力拡大係数の範囲

B. m：材料定数

$dL/dN$ : 疲労亀裂の伝播速度

(7)式の  $B$ ,  $m$  は HT 80K について多くのデーターはあるが、研究者によってかなりのバラツキを有する。これは試験片の形状、板厚、切欠の形状、荷重のかけ方および測定応力レベルなどの因子の影響が入っていることが考えられる。そこでこれらのバラツキの範囲の平均をとることとは意味がないので新日本製鉄 K.K. で行なった板厚 50<sup>mm</sup> の WOL 型試験片による値を用いて計算した。

$$m = 2.22$$

$$B = 5.59 \times 10^{-9}$$

$$L = 0^{\circ}, \quad \frac{dL}{dN} = 5.59 \times 10^{-9} (\Delta K)^{2.22} \dots \dots \dots (8)$$

#### 5-4. 初期欠陥寸法の算出

計算法及び計算は従<sup>6)</sup>矢による方法及びプログラムにより行ふ。

初期欠陥寸法を  $a_i$ ,  $b_i$  とし常に積円形を保ちながら伝播し、最終寸法  $a_{cr}$ ,  $b_{cr}$  で脆性破壊すると考える。計算方法は  $a_i$ ,  $b_i$  から  $\Delta N$  ステップ毎に  $\Delta a$ ,  $\Delta b$  ずつ欠陥が繰り返し応力により成長するとして、それに対する  $\Delta K$  に対する  $d\gamma/d\Delta a$  で亀裂が成長するとして計算するもので、実際には既知の最終欠陥寸法  $a_{cr}$ ,  $b_{cr}$  から逆に  $\Delta N$  ステップずつ亀裂が小さくなる方向に計算して  $a_i$ ,  $b_i$  を求めた。なお、この  $\Delta N$  のステップが細かいほど精度の良いことは明らかである。

計算は図-2の曲線に基いて図-6を示したよる  $a_{cr}$ ,  $b_{cr}$  に対する曲線上に、相当欠陥として例えれば  $a = 15^{mm}$ ,  $2b = 80^{mm}$  を選び、 $a_i$ ,  $b_i$  から100年間  $a, d, c, b, e$  の順に荷重を受けた結果この値になら、にして、初期欠陥寸法を求める。

したが、 $\Delta K \leq 30 \frac{kg}{mm^2 mm}$  では疲労亀裂の伝播速度が非常に小さくなるとして無視して計算した。この点の  $\Delta K$  を  $K_{th}$  として表わされています。<sup>2)</sup>

## 5 - 5. 計算結果

部材13~14について上記要領で計算した結果が

表-3 部材13~14 の応力範囲

| 記号 | 繰返し応力範囲                |
|----|------------------------|
| a  | 5.3 kg/mm <sup>2</sup> |
| b  | 35.4 "                 |
| c  | 23.2 "                 |
| d  | 13.0 "                 |
| e  | 36.0 "                 |

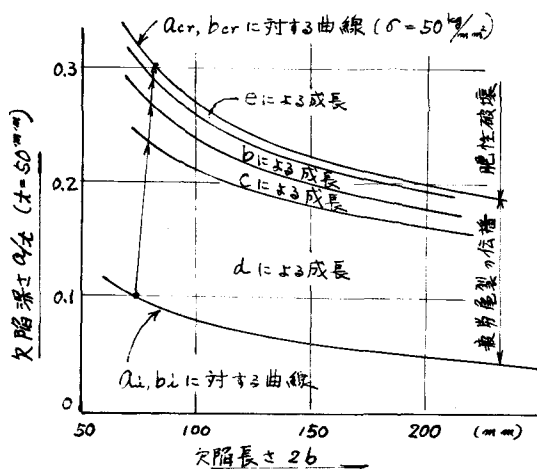


図-6 初期欠陥( $a_i, b_i$ )、最終欠陥( $a_{cr}, b_{cr}$ )と各荷重による欠陥の成長状況

図-6および表-4である。なほこの場合の部材13~14の応力範囲は表-2より求め表-3の値を適用した。

表-4 各荷重開始段ごの欠陥の寸法 (mm)

| 欠陥寸法 | 最終値       | aの開始段 | bの開始段 | cによる開始段 | dによる開始段<br>(初期値) |
|------|-----------|-------|-------|---------|------------------|
| a    | aer 15.0  | 14.9  | 13.7  | 11.9    | 5.1              |
| 2b   | 2ber 80.0 | 79.8  | 78.8  | 77.4    | 73.6             |

これらより、本橋の部材13~14において作用する応力の最大値の約50 $\text{kg/mm}^2$ に対し、図-2に示される脆性破壊しないための欠陥の限界条件としてのa=15 $\text{mm}$ 、2b=80 $\text{mm}$ の欠陥に全長しないためには最初亀裂の大きさをa=5.1 $\text{mm}$ 、2b=73.6 $\text{mm}$ しなければならぬことになる。

## 6. むすび

近年人木構造物の長大化とともにより高強度の材料の使用される傾向とともに設計計算もよりシビアな条件下で行われる傾向にある。そこで、本報告はHT80を使用した南巻連絡橋の部材をとりあげ、実働荷重により疲労亀裂の伝播の予測の一例を示した。これらの考察によれば、現時点でも明らかな事項に対して、非常に大きな仮定を設けていたが、今後この種の問題点に対するより明確な資料を蓄積していくことが望まれる。以下今回の検討の結語および今後の問題点を列記する。

(1) 実働荷重作用により疲労亀裂の全長の考え方ではその亀裂の全長が限界亀裂長に達すると脆性破壊に転化する可能性を有するので、構造物の検査時等においてその初期欠陥を通常行われている静的な試験(Deep Notch試験、広巾試験)等で許容される欠陥よりも小さく押さえる必要がある。

(2) 構造物の耐久性を疲労亀裂伝播の観点より論ずる場合、個々の荷重ケースにおける応力レベルの大きさより、各々の荷重ケースにおける応力レベルと繰り返し数の組合せによる総合的な数値で構造物の耐久性が左右されることになる。すなわち、許容応力度法による設計においては材料特性、繰り返し数等の使用条件に適合した設計許容応力度の設定および許容応力度の割り増し率の設定が望まれる。

(3) 今回の解析においてはある仮定の下に計算しているが、以下に記す仮定条件について今後検討する必要がある。

(3-1) 亀裂伝播に際して  $\Delta K \leq 30 \text{kg/mm}^{1/2}/\text{mm}$  では疲労亀裂が伝播しないという前提下に計算しているがK他の設定の問題。

(3-2) (1)式における材料定数の設定における大きな問題がある。すなわちB、mの値が、種々の研究によりバラツキを有している。すに今回の検討では平均応力を無視しているが、R. Roberts & F. Erdogan の研究<sup>8)</sup>等においては応力比( $\beta$ ){平均応力  $\sigma_m$ /振巾  $a_f$ }によりBを補正している。

(3-3) 荷重順序については今回、d,c,b,e,aについて行っているが、実際の負荷との対応の問題およびランダム負荷の場合の伝播速度に対する荷重順序の問題など不明点が多い。このことより荷重順序を変えた計算を全ての組合せについて検討してみて、そのうち最も亀裂伝播速度の大きいものを選んで初期欠陥の許容寸法を推定しなければならない。

- (3-4) 繰り返し数の評価に対してはより適確な評価を行うためにより詳細な検討を要する。
- (4). 計算結果の表-4で示されるように亀裂の伝播は表面欠陥のある場合、板厚方向伝播速度が大である。このことは今回の計算は全て軸力の作用下に表面切欠のみを扱っており、このように板厚方向への欠陥の成長で破壊が支配されているが曲げでの伝播は板表面に沿って伝播しその速度も軸力に比して大きいといわれている。もちろん軸力の場合も曲げの場合も板厚の効果を考慮しなければならないし、疲劳亀裂の伝播式についても更に精度を上げなければならぬ。
- (5). 脆性破壊発生に対し大きな影響を与える残留応力の影響について、木原等<sup>9)</sup>は低サイクル疲劳履歴との関係を研究している。すなわち繰り返し数  $10^4$  回程度で顯著に荷重繰り返し効果が残留応力緩和率に影響を及ぼすと考えられる。
- (6). 脆性破壊発生を  $K_c$  値を用いて、その限界亀裂の大きさを推定したが、繰り返し荷重による歪時効により韌性値が変化し、材質が劣化する<sup>すなわち本計算では</sup> Virgin材についての  $K_c$  値を用いて、その限界亀裂の大きさを初期条件として与えているが、実際には繰り返し荷重により亀裂先端の韌性値が減じ、より小さい亀裂で脆性破壊に移行する可能性も考えられる。

#### 参考文献

- 奥村、坂川、笠戸、水元；“高張力鋼の広幅試験結果について” 土木学会第27回年次学術講演会  
 奥村、坂川、笠戸、水元；JSSC Vol. 8, No. 79, 1972.
- 1) 伊藤、田中；造船学会論文集 No. 129
  - 2) 高圧力；1969 Vol. 7 No. 5
  - 3) 阪神高速道路公団 南港連絡橋上部工設計基準
  - 4) 例えば 国広哲男；“橋梁の応力頻度と輪荷重調査” JSSC, Vol. 5, No. 43, 1969.
  - 5) 金沢、町田、宮田； TM委員会資料 (TM-104)
  - 6) 征矢；新日本製鉄社内報 9%Ni 鋼板の欠陥評価について
  - 7) 北川ほか；第3回破壊力学の応用と拡張シンポジウム 1971, 6.
  - 8) R. Roberts & F. Erdogan；“The Effect of Mean Stress on Fatigue Crack Propagation in plate under Extension and Bending” Jnl. of Basic Engineering, 1967, Dec.
  - 9) 木原、飯田、藤井；溶接学会 昭和39年度 秋季講演会